

地下水水面の位置が浸透地下トレンチの浸透量に及ぼす影響

東京大学生産技術研究所 正員 虫明功臣
東京大学大学院 ○学生員 内田 滋

1. はじめに

地下水水面の位置が浸透地下トレンチからの浸透現象に与える影響を数値実験的に検討し、浸透施設からの浸透現象の評価に対する基礎的知見を得ることを目的とする。トレンチ底面から 10, 110, 210, 310 および 660 cm の各深度に地下水水面が存在している場合について、浸透量と時間の関係および飽和領域の拡がり方について考察する。また、飽和領域の拡大により、飽和領域内部の吸引圧勾配が緩やかになる様子を境界要素法を用いて明らかにする。

2. 計算方法と土壤パラメータ

支配方程式は Richards の式を用い、トレンチの軸に垂直な断面内での 2 次元流を考え、透水係数は等方性とし、次式を用いる。ただし、 ψ は吸引圧、 k は不飽和透水係数、 θ は含水率である。

$$f(\psi) \frac{\partial \psi}{\partial t} = \frac{\partial}{\partial x} \left(k \frac{\partial \psi}{\partial x} \right) + \frac{\partial}{\partial z} \left(k \left(\frac{\partial \psi}{\partial z} + 1 \right) \right), f(\psi) = \frac{d\theta}{d\psi} \quad \text{--- (1) 式}$$

解析には、有限要素法を用いた。横 10 m, 深度 8 m までを解析領域とした。境界条件として、 $x = 10 m$ の境界およびトレンチ周辺を 1 種境界条件とし、初期値を与えた。他の境界は不透水面とした。すなわち、トレンチ中心軸 ($x = 0 m$) では対称流と考え不透水境界とし、かつ比較的短期間の水分変動を対象としているので、地表面 ($z = 0 m$) でも不透水境界とした。トレンチ内水深は 70 cm 一定とした。初期条件としては、地下水面上 1 m までは吸引圧が直線的に減少するとし、その上部では、 $\psi = -100 \text{ cm}$ の一定吸引圧を与える。

G. S. Campbell の方法により

$$\theta - \psi \text{ 関係} ; \quad \psi = \psi_{cr} (\theta / \theta_0)^{-b}$$

$$k - \psi \text{ 関係} ; \quad k = k_0 (\psi_{cr} / \psi)^{2+2/b}$$

ただし、 ψ_{cr} : エアーエントリーポテンシャル、 k_0 : 飽和透水係数、 θ_0 : 飽和含水率、 b : 定数 で表わされることから、解析に用いた土壤パラメータは東大生研千葉実験所内で採取したサンプル値（深度 60 cm）より、 $k_0 = 5.5 \times 10^{-3} \text{ cm/sec}$, $\psi_{cr} = -20 \text{ cm}$, $\theta_0 = 76\%$, $b = 12.5$ である。

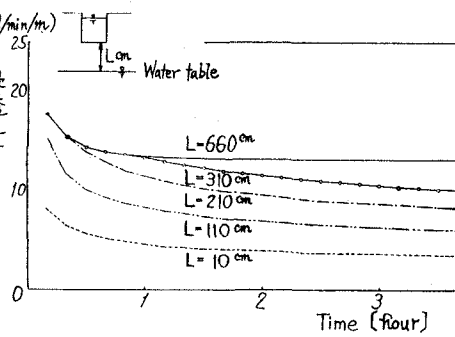


図 1. 浸透量と時間との関係

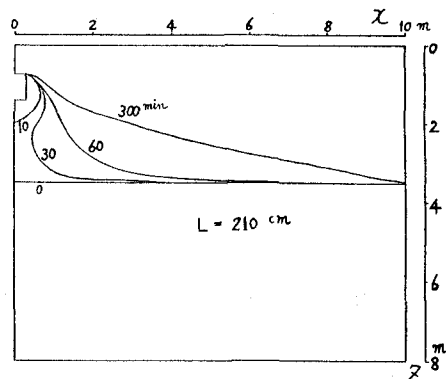


図 2. 飽和域の拡がり ($L = 210 \text{ cm}$)

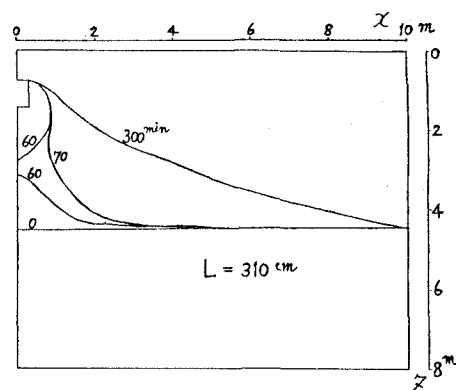


図 3. 飽和域の拡がり ($L = 310 \text{ cm}$)

3. 計算結果と考察

図 1 は浸透量の時間変化である。トレンチ底面と地下水水面と

の距離しが大きいほど浸透量が大である。地下水が解析領域にない場合、即ち $L > 660 \text{ cm}$ の場合は $L = 660 \text{ cm}$ の場合の浸透量の時間変化とほぼ同じである。 $L > 660 \text{ cm}$ の場合の注入開始後 5 時間後の浸透量は $I = 13.11 (\text{l}/\text{min}/\text{m})$ である。

図2、図3は飽和域の拡がり方を示している。図3を見ると注入開始後 60 min と 70 min の間でトレンチからの飽和域と地下水からの飽和域とが交わる。図1で、 $L = 310 \text{ cm}$ の浸透量の時間変化が $L = 660 \text{ cm}$ の浸透量の時間変化曲線から、注入開始後 60 min 付近で急に落ちていったのは、飽和域が急に拡大され、トレンチ近辺の吸引圧勾配が緩やかになつたためである。図1で、 $L = 210 \text{ cm}$ の浸透量の時間変化曲線が、注入開始後 20 min 付近で、 $L = 660 \text{ cm}$ の浸透量の時間変化曲線から落ちていったのも、同じ理由からである。これは、図2で、注入開始後 10 min と 30 min の間でトレンチからの飽和域と地下水からの飽和域とが交わるからである。(飽和域の拡大とともに、飽和域内部の吸引圧勾配が緩やかになることについては註参照のこと。)

図4は、トレンチ底面から地下水までの距離 $L(\text{m})$ と注入開始後 5 時間後の浸透量 $I (\text{l}/\text{min}/\text{m})$ との関係を示している。曲線Aは、東大生産技術研究所内で採取した小サンプル値を用いた場合の結果であり、曲線Bは東京昭島つづじヶ丘ハイツ内で採取した小サンプル値を用いた場合の結果である。これを見るとわかるように、曲線Aは、 $L = 7 \text{ m}$ 付近まで、地下水の影響を受けるのに対し、曲線Bでは L が約 3 m 以上になると地下水の影響を受けない。このように、土壤特性により、地下水の影響は異なり、透水性の良い土壤ほど、浸透量が地下水の影響を受けやすくなることがわかる。なお、曲線Bは、第29回水理講演会論文集からの引用である。

註) 飽和領域内部の吸引圧分布について

境界要素法を用いて、飽和域内部の吸引圧分布を求めた。飽和域内部では $\theta = \theta_0$, $K = K_0$ とおけるため、(1)式は $\frac{\partial^2 \psi}{\partial x^2} + \frac{\partial^2 \psi}{\partial y^2} = 0$ —— (2) 式で表わすことができる。境界条件として、トレンチ中心軸上 ($x = 0 \text{ m}$) で不透水境界、その他の境界は 1 種境界とする。注入開始後 30 min の場合の境

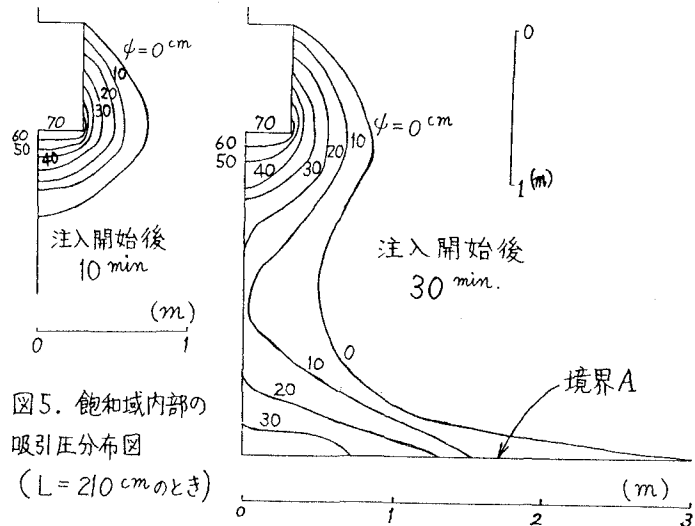


図5. 飽和域内部の吸引圧分布図
($L = 210 \text{ cm}$ のとき)

界Aは有限要素法で得られた値を用いた。図5は得られた吸引圧分布図である。 $(L = 210 \text{ cm}$ の場合の、注入開始後 10 min と 30 min の図) これを見ると明らかな様に、実験開始後 30 min の吸引圧勾配は、実験開始後 10 min の吸引圧勾配より、緩やかであることがわかる。

参考文献 1)虫明、岡、内田、田村「土壤物理特性が雨水浸透施設の浸透特性に及ぼす影響」第29回水理講演会論文集